

P-5014/  
2002/Ч7/9

62

219

Том 47, Номер 9

ISSN 0033-8494

Сентябрь 2002



# РАДИОТЕХНИКА и ЭЛЕКТРОНИКА

<http://www.mai.k.ru>



“НАУКА”

МАИК “НАУКА/ИНТЕРПЕРИОДИКА”

429

## ПОРОГОВЫЕ ХАРАКТЕРИСТИКИ СОВМЕСТНЫХ ОЦЕНОК ВРЕМЕНИ ПРИХОДА И ЦЕНТРАЛЬНОЙ ЧАСТОТЫ ФЛУКТУИРУЮЩЕГО РАДИОИМПУЛЬСА

© 2002 г. А. П. Трифонов, А. В. Захаров

Поступила в редакцию 16.02.2000 г.

С учетом аномальных ошибок получены асимптотические выражения для характеристик оценок максимального правдоподобия времени прихода и частоты флуктуирующего радиоимпульса, наблюдавшегося на фоне аддитивного белого шума. Границы применимости найденных выражений установлены при помощи статистического моделирования на электронно-вычислительной машине.

Задача оценки времени прихода и частоты случайных импульсных радиосигналов встречается в различных приложениях радиофизики и радиотехники [1–6]. Адекватной моделью таких сигналов является флукутирующий радиоимпульс.

$$s(t) = a(t)I[(t - \lambda_0)/\tau] \cos[v_0 t - \phi(t)], \quad (1)$$

где  $I(x) = 1$  при  $|x| < 1/2$ ;  $I(x) = 0$  при  $|x| \geq 1/2$ ;  $\lambda_0$  – время прихода;  $\tau$  – длительность;  $v_0$  – несущая частота радиоимпульса;  $a(t)$  и  $\phi(t)$  – случайные процессы, описывающие законы его амплитудных и фазовых флюктуаций. Согласно [1–6], сигнал (1) можно представить в виде  $s(t) = \xi(t)I[(t - \lambda_0)/\tau]$ , где  $\xi(t) = a(t)\cos[v_0 t - \phi(t)]$  – узкополосный стационарный центрированный гауссовский случайный процесс. При этом случайные процессы  $a(t)$  и  $\phi(t)$  имеют соответственно рэлеевское и равномерное распределения [6]. Спектральную плотность флюктуаций  $\xi(t)$  аппроксимируем выражением  $G(\omega) = (\gamma/2)I[(v_0 - \omega)/\Omega] + I[(v_0 + \omega)/\Omega]$ ,  $v_0 > \Omega/2$ , где  $\gamma$  – величина, а  $\Omega$  – ширина полосы частот спектральной плотности. Полагаем, что время корреляции случайных флюктуаций  $\xi(t)$  сигнала (1) значительно меньше его длительности, т.е.

$$\mu = \tau\Omega/2\pi \gg 1. \quad (2)$$

Рассмотрим совместные оценки максимального правдоподобия (ОМП) времени прихода  $\lambda_0$  и центральной частоты  $v_0$  флукутирующего радиоимпульса (1), наблюдаемого на фоне аддитивного гауссовского белого шума  $n(t)$  с односторонней спектральной плотностью  $N_0$ . Будем считать, что время прихода и центральная частота неизвестны и принимают значения из априорных интервалов  $\lambda_0 \in [\lambda_{\min}; \lambda_{\max}]$  и  $v_0 \in [v_{\min}; v_{\max}]$ . Для получения ОМП по принятой реализации  $x(t) = s(t) + n(t)$  необходимо формировать логарифм функционала отношения правдоподобия (ФОП)  $L(\lambda, v)$  как

функцию возможных значений  $\lambda$  и  $v$  времени прихода и частоты сигнала. Совместные ОМП  $\lambda_m$  и  $v_m$  времени прихода  $\lambda_0$  и частоты  $v_0$  являются координатами положения абсолютного (наибольшего) максимума логарифма ФОП на интервалах  $\lambda \in [\lambda_{\min}; \lambda_{\max}]$  и  $v \in [v_{\min}; v_{\max}]$  [4, 7, 8].

Аналогично [2, 9] логарифм ФОП при приеме быстро флукутирующего сигнала (1) на фоне белого шума с точностью до несущественного постоянного слагаемого запишем как

$$L(\lambda, v) = \frac{\gamma}{N_0(N_0 + \gamma)} \int_{\lambda - \tau/2}^{\lambda + \tau/2} y^2(t, v) dt, \quad (3)$$

где  $y(t, v)$  – отклик линейного фильтра на входную реализацию  $x(t)$ , передаточная функция  $H(\omega)$  которого удовлетворяет условию  $|H(\omega)|^2 = I[(v - \omega)/\Omega] + I[(v + \omega)/\Omega]$ .

Найдем характеристики совместных ОМП  $\lambda_m$  и  $v_m$ . Обозначим  $\eta = \lambda/\tau$ ,  $\eta_0 = \lambda_0/\tau$ ,  $\kappa = v/\Omega$ ,  $\kappa_0 = v_0/\Omega$  – нормированные значения времени прихода и частоты радиоимпульса. Представим функционал (3) в виде суммы:  $L(\lambda, v) = S(\eta, \kappa) + N(\eta, \kappa) + A$  сигнальной  $S(\eta, \kappa) = \langle L(\lambda, v) \rangle - A$  и шумовой  $N(\eta, \kappa) = L(\lambda, v) - \langle L(\lambda, v) \rangle$  функций, где  $A = \mu q/(1+q)$ , а усреднение выполняется по реализациям  $x(t)$  при фиксированных  $\eta_0$  и  $\kappa_0$  [7, 8]. Учитывая условие (2) и опуская далее несущественное постоянное слагаемое  $A$ , находим сигнальную функцию:

$$S(\eta, \kappa) = S_m C(\eta - \eta_0) C(\kappa - \kappa_0), \quad (4)$$
$$S_m = S(\eta_0, \kappa_0) = \mu q^2 / (1+q),$$

где  $C(t) = \max(0; 1 - |t|)$ ;  $q = \gamma/N_0$ . Шумовая функция является асимптотически (при  $\mu \rightarrow \infty$ ) гауссовским центрированным неоднородным случаем

полем [2, 6], поэтому в силу (2) ограничимся рассмотрением ее корреляционной функции:

$$\begin{aligned} K(\eta_1, \eta_2, \kappa_1, \kappa_2) &= \langle N(\eta_1, \kappa_1)N(\eta_2, \kappa_2) \rangle = \\ &= K_m[gR(\eta_1, \eta_2, \eta_0)R(\kappa_1, \kappa_2, \kappa_0) + \\ &+ (1-g)C(\eta_1 - \eta_2)C(\kappa_1 - \kappa_2)], \quad (5) \\ K_m &= K(\eta_0, \eta_0, \kappa_0, \kappa_0) = \mu q^2, \\ g &= q(2+q)/(1+q)^2, \end{aligned}$$

где  $R(t_1, t_2, t_0) = \max[0; 1 - \max(|t_1 - t_2|, |t_1 - t_0|, |t_2 - t_0|)]$ ;  $\eta_j = \lambda_j/\tau$ ;  $\kappa_j = v_j/\Omega$ ,  $j = 1, 2$ .

В процессе анализа целесообразно разбить оценки на надежные и аномальные [4, 7, 8]. Введем нормированные ОМП  $\eta_m = \lambda_m/\tau$  и  $\kappa_m = v_m/\Omega$  времени прихода и частоты сигнала (1). Обозначим  $\Lambda$  область возможных значений нормированных времен прихода и частоты, задаваемая условиями  $\eta \in [\eta_{\min}, \eta_{\max}]$ ,  $\kappa \in [\kappa_{\min}, \kappa_{\max}]$ , где  $\eta_{\min} = \lambda_{\min}/\tau$ ,  $\eta_{\max} = \lambda_{\max}/\tau$ ,  $\kappa_{\min} = v_{\min}/\Omega$ ,  $\kappa_{\max} = v_{\max}/\Omega$ . Тогда оценки  $\eta_m$  и  $\kappa_m$  являются надежными, если находятся в сигнальной подобласти  $\Lambda_S$ , задаваемой условиями  $\eta \in [\eta_0 - 1; \eta_0 + 1]$ ,  $\kappa \in [\kappa_0 - 1; \kappa_0 + 1]$ , в пределах которой сигнальная функция (4) отлична от нуля. Если же ОМП  $\eta_m$  и  $\kappa_m$  находятся в пределах шумовой подобласти  $\Lambda_N$ , являющейся дополнением подобласти  $\Lambda_S$  до области  $\Lambda$ , то оценки и ошибки оценивания называются аномальными [7, 8].

Рассмотрим нормированные надежные ОМП  $\eta_m$  и  $\kappa_m$  времени прихода и частоты радиоимпульса (1), являющиеся координатами положения абсолютного максимума логарифма ФОП  $M(\eta, \kappa) = L(\eta\tau, \kappa\Omega)$  (3) в пределах сигнальной подобласти  $\Lambda_S$ . Так как сигнальная функция (4) достигает абсолютного максимума при  $\eta = \eta_0$  и  $\kappa = \kappa_0$ , а реализации шумовой функции непрерывны с вероятностью единица, то отношение сигнал/шум (ОСШ) для принятого сигнала (1) равно [7, 8]

$$z^2 = S^2(\eta_0, \kappa_0)/K(\eta_0, \eta_0, \kappa_0, \kappa_0) = \mu q^2/(1+q)^2. \quad (6)$$

Поскольку  $q > 0$ , то  $z^2 \rightarrow \infty$  при  $\mu \rightarrow \infty$ . Будем считать, что кроме (2) выполняется условие

$$z^2 \gg 1, \quad (7)$$

обеспечивающее высокую апостериорную точность надежных оценок [7, 8]. При выполнении (7) надежные ОМП  $\eta_m$  и  $\kappa_m$  расположены в малой окрестности значений  $\eta = \eta_0$  и  $\kappa = \kappa_0$  соответственно, причем с ростом ОСШ размер этой окрестности уменьшается. Поэтому для расчета характеристик надежных ОМП  $\eta_m$  и  $\kappa_m$  при выполнении (2), (7) достаточно исследовать поведение моментов логарифма ФОП (3) в малой окрестности точки  $(\eta_0, \kappa_0)$ .

Полагая  $\delta_y = \max\{|\eta - \eta_0|, |\kappa - \kappa_0|, |\kappa - \kappa_0|\} \rightarrow 0$ ,  $i = 1, 2$ , аналогично [10] можем представить случайное поле (3) в виде  $L(\eta\tau, \kappa\Omega) = L_1(\eta) + L_2(\kappa)$ . Здесь  $L_i(x)$ ,  $i = 1, 2$ , – статистически не зависимые гауссовые случайные процессы, моменты которых приведены в [10]. Тогда при выполнении (2), (7) характеристики надежных ОМП  $\eta_m$  и  $\kappa_m$  приближенно совпадают с характеристиками положений абсолютных максимумов случайных процессов  $L_1(\eta)$  и  $L_2(\kappa)$  на интервалах  $\eta \in [\eta_0 - 1; \eta_0 + 1]$  и  $\kappa \in [\kappa_0 - 1; \kappa_0 + 1]$  соответственно.

Воспользовавшись локально-марковской аппроксимацией приращений случайных процессов  $L_1(\eta)$  и  $L_2(\kappa)$  [7] и решая уравнения Фоккера–Планка–Колмогорова [11] с соответствующими начальными и граничными условиями, получаем, что при выполнении (2), (7) совместные надежные ОМП  $\eta_m$  и  $\kappa_m$  являются несмещенными, а рассеяние оценок равно

$$\begin{aligned} V_0 &= \langle (\eta_m - \eta_0)^2 \rangle = \\ &= \langle (\kappa_m - \kappa_0)^2 \rangle = 13(2-g)^2/8z^4. \end{aligned} \quad (8)$$

Рассмотрим теперь пороговые (с учетом аномальных ошибок) характеристики ОМП. Аномальные ошибки возможны, если размеры области  $\Lambda$  возможных значений времени прихода  $\eta_0$  и частоты  $\kappa_0$  сигнала значительно больше размеров сигнальной подобласти  $\Lambda_S$  [4, 7, 8], т.е.

$$m_1 = \eta_{\max} - \eta_{\min} \gg 1, \quad m_2 = \kappa_{\max} - \kappa_{\min} \gg 1. \quad (9)$$

Параметр  $m_1$  определяет число сигналов (1), которые могут быть размещены на интервале времени  $[\lambda_{\min}, \lambda_{\max}]$ , а параметр  $m_2$  – число сигналов, которые могут быть размещены в диапазоне частот  $[v_{\min}, v_{\max}]$ . На практике необходимо знать вероятности надежной оценки  $P_0 = P[(\eta_m, \kappa_m) \in \Lambda_S]$  или аномальной ошибки  $P_a = P[(\eta_m, \kappa_m) \in \Lambda_N] = 1 - P_0$  [4, 7, 8].

Согласно определению [8],  $P_0 = P[L_S > L_N]$ , где  $L_S$  и  $L_N$  – величины абсолютных максимумов логарифма ФОП (3) в пределах сигнальной и шумовой подобластей. При выполнении условия (9) случайные величины  $L_S$  и  $L_N$  приближенно статистически не зависимы, поэтому  $P_0 = \int_{-\infty}^{\infty} F_N(u)dF_S(u)$  [8], где  $F_N(u)$  и  $F_S(u)$  – функции распределения случайных величин  $L_S/\sigma_N$  и  $L_N/\sigma_N$  соответственно, а  $\sigma_N^2 = \mu q^2/(1+q)^2$ . Воспользовавшись найденными

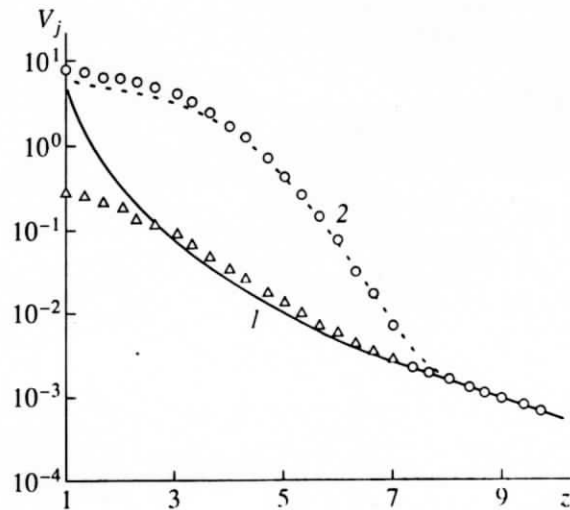


Рис. 1. Рассеяния оценок.

в [10] асимптотическими выражениями для функций  $F_N(u)$  и  $F_S(u)$ , получаем

$$\begin{aligned} P_0 &= \zeta \int_{\sqrt{2}}^{\infty} F_N(u) \left[ \int_{-\infty}^{\infty} W(u\zeta - x) W(x) dx \right] du, \\ P_a &= 1 - P_0, \\ F_N(u) &= \exp \left\{ -\frac{\sqrt{2}}{\pi} \left[ m_2 \exp \left( -\frac{1}{2} \right) + \right. \right. \\ &\quad \left. \left. + m_1 (u\sqrt{2} - 1) \exp \left( -\frac{(u\sqrt{2} - 1)^2}{2} \right) \right] \right\} + \sqrt{\frac{2}{\pi}} m_2 \times \\ &\quad \times \int_{1}^{u\sqrt{2}-1} (x^2 - 1) \exp \left\{ -\frac{x^2}{2} - \frac{\sqrt{2}}{\pi} \left[ m_2 x \exp \left( -\frac{x^2}{2} \right) + \right. \right. \quad (10) \\ &\quad \left. \left. + m_1 (u\sqrt{2} - x) \exp \left( -\frac{(u\sqrt{2} - x)^2}{2} \right) \right] \right\} dx, \\ W(x) &= \frac{2\sqrt{2}}{2-g} x \exp \left[ \frac{2z^2(3-g)}{(2-g)^2} \right] \times \\ &\quad \times \left\{ \exp \left( -\frac{\sqrt{2}xz}{2-g} \right) \Phi \left( x - \frac{z}{\sqrt{2}} \frac{4-g}{2-g} \right) - \right. \\ &\quad \left. - \exp \left[ \frac{3z^2}{(2-g)^2} + \frac{z(z-2\sqrt{2}x)}{2-g} \right] \Phi \left( x - \frac{z}{\sqrt{2}} \frac{6-g}{2-g} \right) \right\}, \end{aligned}$$

где  $\zeta = \sigma_N \sqrt{2/K_m} = \sqrt{2}/(1+q)$ . Точность формулы (10) возрастает с увеличением  $\mu$  (2),  $z$  (6),  $m_1$  и  $m_2$

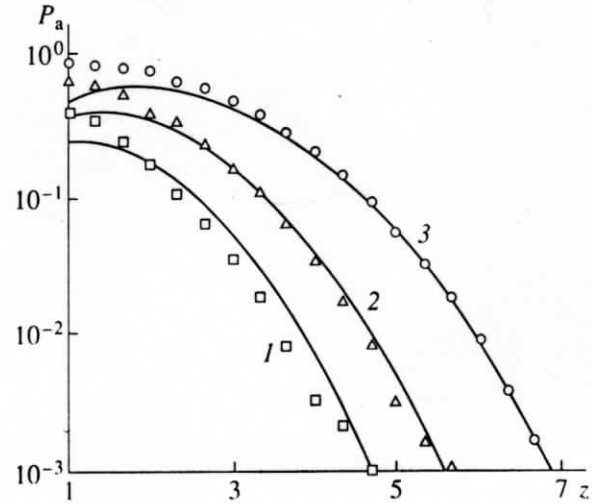


Рис. 2. Вероятность аномальной оценки.

(9). Используя (8) и (10), условные смещения и рассеяния ОМП  $\eta_m$  и  $\kappa_m$  с учетом аномальных ошибок можем записать в виде [8]

$$\begin{aligned} b_1 &= \langle \eta_m - \eta_0 \rangle = (1 - P_0)(\eta_a - \eta_0), \\ b_2 &= \langle \kappa_m - \kappa_0 \rangle = (1 - P_0)(\kappa_a - \kappa_0), \end{aligned}$$

$$\begin{aligned} V_1 &= \langle (\eta_m - \eta_0)^2 \rangle = \\ &= P_0 V_0 + (1 - P_0)[(\eta_a - \eta_0)^2 + m_1^2/12], \\ V_2 &= \langle (\kappa_m - \kappa_0)^2 \rangle = \\ &= P_0 V_0 + (1 - P_0)[(\kappa_a - \kappa_0)^2 + m_2^2/12], \end{aligned} \quad (11)$$

где  $\eta_a = (\eta_{\max} + \eta_{\min})/2$ ;  $\kappa_a = (\kappa_{\max} + \kappa_{\min})/2$ . Из выражений (11) следует, что при  $\eta_0 = \eta_a$  и  $\kappa_0 = \kappa_a$  ОМП  $\eta_m$  и  $\kappa_m$  являются несмещеными.

С целью экспериментальной проверки эффективности совместных ОМП времени прихода и частоты флюктуирующего радиоимпульса (1) и установления границ применимости найденных асимптотически точных формул для характеристик оценок выполнено статистическое моделирование алгоритма ОМП на ЭВМ. В процессе моделирования с шагом  $\Delta t = 0.01$  по переменным  $\eta$  и  $\kappa$  формировались отсчеты гауссовского случайного поля с математическим ожиданием (4) и корреляционной функцией (5), а оценки  $\eta_m$  и  $\kappa_m$  фиксировались как координаты наибольшего отсчета поля в пределах области значений  $\eta \in [0, m_1]$ ,  $\kappa \in [0, m_2]$ . При этом среднеквадратическая погрешность ступенчатой аппроксимации непрерывных реализаций поля не превышала 15%. На основе обработки не менее  $10^4$  реализаций случайного поля вычислялись выборочные характеристики ОМП. Некоторые результаты моделирования при  $m_1 = m_2 = 10$ ,  $\eta_0 = \eta_a = m_1/2$ ,  $\kappa_0 = \kappa_a = m_2/2$  пока-

аны на рис. 1 и 2, где приведены соответствующие теоретические зависимости. На рис. 1 показаны предельные (при  $q \ll 1$ ) экспериментальные значения рассеяния надежной ОМП  $\eta_m$  и рассеяния ОМП  $\eta_m$  с учетом аномальных ошибок (кривая 2), которые практически совпадали с аналогичными значениями для ОМП  $\kappa_m$ . Там же сплошными и штриховыми линиями показаны соответствующие теоретические зависимости  $V_0(z)$  и  $V_1(z) = V_2(z)$  рассеяний ОМП, рассчитанные по формулам (8) и (11). На рис. 2 приведены экспериментальные значения вероятности  $P_a$  аномальной ошибки при  $g = 0.075$  (прямоугольники),  $g = 0.5$  (треугольники) и  $g \ll 1$  ( $q \ll 1$ ) (кружочки), которым соответствуют теоретические кривые 1, 2 и 3, рассчитанные по формуле (10). Из результатов моделирования следует, что полученные теоретически новые асимптотически точные выражения для характеристик ОМП удовлетворительно аппроксимируют экспериментальные данные уже при  $z > 1.5 \dots 2$  и  $m_1, m_2 > 3 \dots 5$ .

Работа выполнена при поддержке Российского фонда фундаментальных исследований, CRDF и Министерства образования (проекты 02-07-00057, VZ-010-0 и E00-3.5-5).

## СПИСОК ЛИТЕРАТУРЫ

1. Караваев В.В., Сазонов В.В. Статистическая теория пассивной локации. М.: Радио и связь, 1987.
2. Бакут П.А., Большаков И.А., Герасимов Б.М. и др. Вопросы статистической теории радиолокации. Т. 1 / Под ред. Тартаковского Г.П. М.: Сов. радио, 1963.
3. Кремер И.Я., Владимиров В.И., Карпухин В.И. Модулирующие помехи и прием радиосигналов. М.: Сов. радио, 1972.
4. Радиотехнические системы / Под ред. Казаринова Ю.М. М.: Высш. шк., 1990.
5. Ахманов С.А., Дьяков Ю.Е., Чиркин А.С. Введение в статистическую радиофизику и оптику. М.: Наука, 1981.
6. Тихонов В.И. Статистическая радиотехника. М.: Радио и связь, 1982.
7. Трифонов А.П., Шинаков Ю.С. Совместное различение сигналов и оценка их параметров на фоне помех. М.: Радио и связь, 1986.
8. Куликов Е.И., Трифонов А.П. Оценка параметров сигналов на фоне помех. М.: Сов. радио, 1978.
9. Трифонов А.П., Парфенов В.И. // РЭ. 1998. Т. 44. № 8. С. 959.
10. Трифонов А.П., Захаров А.В. // РЭ. 2000. Т. 45. № 11. С. 1329.
11. Тихонов В.И., Миронов М.А. Марковские процессы. М.: Радио и связь, 1977.